

FERRAMENTA COMPUTACIONAL PARA CRIAÇÃO DE MODELOS DE ALIMENTADORES REAIS DE DISTRIBUIÇÃO NO OPENDSS A PARTIR DE DADOS DISPONIBILIZADOS PELA ANEEL

Henrique da Silva, John Jefferson Antunes Saldanha

Instituto Federal de Santa Catarina

Câmpus Jaraguá do Sul – Rau – Curso de Bacharelado em Engenharia Elétrica

e-mail: mfp101999@hotmail.com, john.saldanha@ifsc.edu.br

Trabalho de Conclusão de Curso – 06/07/2022

Resumo – Este trabalho propõe uma ferramenta computacional para conversão automática dos dados de alimentadores de distribuição reais disponibilizados pela ANEEL na sintaxe do simulador OpenDSS. A ferramenta é baseada nos softwares QGIS, onde são carregados os dados provenientes da BDGD, e o MATLAB, que converte os dados em arquivos de texto na sintaxe compatível com o OpenDSS. A ferramenta desenvolvida é validada através da modelagem de alimentadores reais da concessionária Celesc. Verificou-se que a ferramenta apresentou resultados consistentes, demonstrando ser útil para pesquisadores, profissionais e empresas do setor. A ferramenta foi disponibilizada de forma eletrônica para ser utilizada, analisada e aprimorada.

Palavras-chave – Alimentadores de distribuição, BDGD, MATLAB, OpenDSS.

COMPUTATIONAL TOOL FOR CREATING MODELS OF REAL DISTRIBUTION FEEDERS IN OPENDSS FROM DATA PROVIDED BY ANEEL

Abstract – This work proposes a computational tool for automatic conversion of data from real distribution feeders provided by ANEEL into the syntax of the OpenDSS simulator. The tool is based on QGIS software, which loads data from BDGD - Geographic Database of the Distributor - and MATLAB, which converts data into text files compatible with OpenDSS syntax. The validation of the tool is presented through the modeling of real feeders of the power distribution company Celesc. It was found that the tool presented consistent results, proving to be a useful tool for researchers, professionals and companies in the sector. The tool was made available electronically to be used, analyzed and improved.

Keywords – BDGD, Distribution feeders, MATLAB, OpenDSS.

I. INTRODUÇÃO

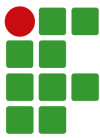
As redes de distribuição de energia elétrica são fundamentais para o funcionamento de um sistema elétrico de potência. Estas redes atendem os consumidores finais, entregando energia elétrica, e possuem característica predominantemente radiais, onde o fluxo de energia flui das centrais geradoras para as cargas. Entretanto, as redes de distribuição têm passado por modificações e atualizações devido à inserção de novas tecnologias [1].

De acordo com [2] a “smart grid” (rede inteligente) é a modernização da rede de distribuição de energia elétrica automatizada, ou seja, a próxima geração do sistema elétrico de potência, com gestão integrada de sua infraestrutura e serviços, planejada para melhorar o sistema tradicional em termos de qualidade de energia, confiabilidade, eficiência, resiliência e aspectos ambientais. A rede inteligente originou-se devido aos novos desafios gerados pela modernização, como [3]:

- Inserção de novas fontes de geração e armazenamento de energia
- Advento de veículos elétricos
- Mudança do perfil de consumo do consumidor
- Bidirecionalidade energética e de informação
- Gestão otimizada do crescimento significativo da carga
- Maior preocupação dos consumidores em relação à qualidade do fornecimento
- Medidas mais restritivas das agências reguladoras de distribuição de energia elétrica

Desta forma, devido à alta complexidade do novo sistema é de suma importância que o mesmo seja planejado e operado de forma adequada. Um software que tem ganhado bastante espaço para modelar e simular o comportamento de redes de distribuição é o The Open Distribution System Simulator (OpenDSS) [4]–[6].

O OpenDSS teve origem no ano de 1997 devido ao fato dos usuários precisarem de respostas mais precisas envolvendo problemas de geração distribuída (GD) [7]. O mesmo é um software de código aberto e foi desenvolvido para simular sistemas elétricos de potência, sendo recomendado em Notas



Técnicas da Agência Nacional de Energia Elétrica (ANEEL) no cálculo de perdas e níveis de tensão [8].

Aliado a isso, a ANEEL, normatiza através do “Módulo 10 - Sistema de Informação Geográfica Regulatório” [9] do PRODIST (Procedimentos de Distribuição de Energia Elétrica no Sistema Elétrico Nacional), a Base de Dados Geográfica da Distribuidora (BDGD). A BDGD disponibiliza dados das redes de distribuição de todas as distribuidoras de energia elétrica do Brasil, e esta base é atualizada anualmente.

Com isso, a partir dos dados da BDGD, é possível obter modelos elétricos de redes reais para estudos. Entretanto, a modelagem de forma manual de um alimentador real no OpenDSS a partir da BDGD demanda muito tempo, devido a necessidade de conversão dos dados obtidos da BDGD para a linguagem usada no OpenDSS, somado com o número elevado de elementos nas redes, além da possibilidade de erros de digitação. Neste contexto, uma ferramenta automatizada que auxiliaria na criação de modelos para simulação a partir de dados da BDGD é de grande valia, portanto, este trabalho desenvolverá uma ferramenta para interpretar os dados da BDGD e convertê-los para a sintaxe utilizada no OpenDSS. Deste modo, espera-se que a ferramenta contribua para a modernização das redes de distribuição, facilitando a modelagem e integração dos dados no simulador.

Este trabalho está dividido nas seguintes seções: A Seção II, apresenta a fundamentação teórica do trabalho. A metodologia é apresentada na Seção III, enquanto na Seção IV demonstram-se algumas informações sobre o desenvolvimento da ferramenta. Já na Seção V, apresenta-se a validação da ferramenta e por fim na Seção VI são expostas as conclusões obtidas.

II. FUNDAMENTAÇÃO TEÓRICA

Esta seção apresenta os principais conceitos utilizados no trabalho. Os seguintes conceitos são abordados: modelos utilizados dos principais elementos do sistema de distribuição, a Base de Dados Geográfica da Distribuidora (BDGD) contendo as principais entidades para modelagem de um alimentador, curvas de carga, software QGIS e OpenDSS.

A. Modelos

Para a modelagem de um sistema de distribuição é necessário ter conhecimento prévio de alguns elementos básicos que o constituem, entre estes estão: linhas de distribuição, transformadores de distribuição e as cargas.

1) Modelo de linha curta: Para modelagem das linhas de distribuição é utilizado o modelo de linha curta, pois o mesmo aplica-se a segmentos com extensão de até 80 km e níveis de tensão de até 69 kV. Neste modelo é desconsiderado o efeito da capacitorsa [10] e é representado por uma indutância série, conforme a Fig. 1.

A Eq. (1) define o cálculo da impedância para a linha curta:

$$Z = (r + j\omega L)l = R + jX \quad (1)$$

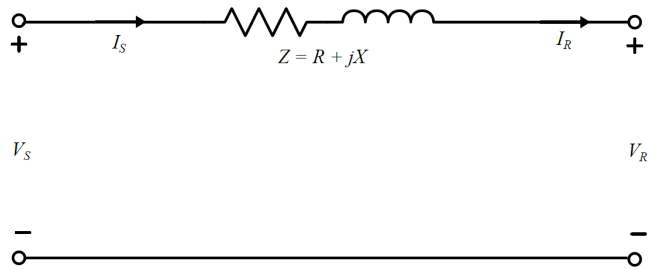


Fig. 1. Modelo de linha curta [10].

Onde: r é resistência por unidade de comprimento ($\Omega/u.c$), L é a indutância por unidade de comprimento ($H/u.c$) e l o comprimento. Os parâmetros V_s e I_s são respectivamente, tensão e corrente no lado emissor da linha, já V_R e I_R , tensão e corrente no lado receptor da linha.

2) Transformador: Os transformadores são os equipamentos responsáveis pela alteração do nível de tensão das linhas de distribuição para níveis de consumo. O modelo de um transformador monofásico está representado na Fig. 2.

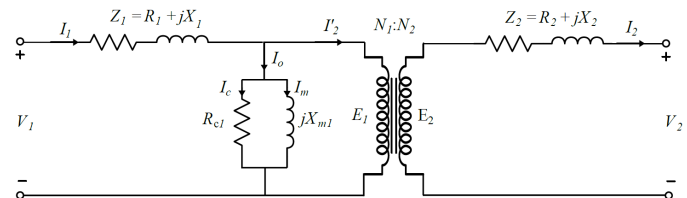


Fig. 2. Modelo de um transformador real monofásico [11].

Onde:

- $N_1 : N_2$: relação de transformação;
- E_1 : tensão induzida no enrolamento primário;
- E_2 : tensão induzida no enrolamento secundário;
- Z_1 : perdas do enrolamento primário;
- Z_2 : perdas do enrolamento secundário;
- R_{c1} e X_{m1} : componentes perdas no núcleo;
- V_1 e V_2 : tensões terminais;
- I_c : corrente de perdas no ferro;
- I_m : corrente de magnetização;
- I_o : corrente de excitação;
- I_1 e I_2 : correntes do primário e secundário;
- I'_2 : corrente do secundário refletida no primário.

3) Modelo de carga polinomial ZIP: O ZIP, conforme [12], é o modelo mais utilizado para descrever o comportamento estático de cargas, sendo largamente empregado em estudos de fluxo de potência e de estabilidade de tensão. O mesmo está apresentado nas Eqs. (2) e (3).

$$P = P_o \left[\alpha_{Z_p} \left(\frac{V}{V_o} \right)^2 + \beta_{I_p} \left(\frac{V}{V_o} \right) + \gamma_{P_p} \right] \quad (2)$$

$$Q = Q_o \left[\alpha_{Z_q} \left(\frac{V}{V_o} \right)^2 + \beta_{I_q} \left(\frac{V}{V_o} \right) + \gamma_{P_q} \right] \quad (3)$$

Onde: P é a potência ativa em função das variações de tensão e Q é a potência reativa em função das variações de tensão. Este modelo associa o comportamento da potência que flui para a carga através de 3 parcelas: uma parcela da carga representada pelo modelo de impedância constante (α_*), outra de corrente constante (β_*) e de potência constante (γ_*) [12]. Estes parâmetros (α_* , β_* e γ_*) devem seguir a restrição apresentada na Eq. (4), onde o somatório das parcelas não deve exceder 100%.

$$\alpha_* + \beta_* + \gamma_* = 1 \quad (4)$$

B. Base de Dados Geográfica da Distribuidora (BDGD)

A BDGD compreende o conjunto de informações que são encaminhadas pelas distribuidoras nacionais para a ANEEL. Nesta base de dados constam: o modelo geográfico que simplifica o sistema elétrico real, possuindo o traçado geométrico dos segmentos das redes de baixa, média e alta tensão, a localização geográfica das estruturas de suporte, dos equipamentos e das subestações, informações sobre os dados técnicos do sistema de distribuição e informações comerciais e dados físico-contábeis da base de ativos [9]. O Módulo 10 do PRODIST estabelece o padrão e a estrutura das informações, o formato dos arquivos digitais, os prazos e a forma de envio à ANEEL. A BDGD pode ser solicitada pela Plataforma Integrada de Ouvidoria e Acesso à Informação (Fala.BR).

As entidades básicas necessárias da BDGD para a modelagem de um sistema de distribuição real estão apresentadas nas próximas subseções, para maiores detalhes, estes dados podem ser encontrados no Módulo 10 do PRODIST [9].

1) *SUB - subestação*: Inclui todas as subestações de interesse, sendo representado geograficamente pela área ocupada da subestação [9]. Os dados básicos principais desta entidade são: o código identificador da subestação e o nome.

2) *CTMT - circuito de média tensão*: Inclui todos os circuitos de média tensão [9]. E os principais dados básicos são: o código do circuito, nome, barramento conectado, ponto de acoplamento, tensão nominal e energia ativa medida entre 12 meses.

3) *SEGCON - segmento condutor*: Inclui todos os tipos de segmentos condutores [9]. Os principais dados básicos desta entidade são: o código do segmento, geometria, formação, bitola, isolação e material do cabo, resistência e reatância de sequência positiva, corrente nominal e máxima do condutor.

4) *EQTRD - equipamento transformador de distribuição*: Inclui todos os equipamentos transformadores de distribuição instalados no sistema [9]. As principais informações básicas desta entidade são: o código identificador, ponto de conexão, potência nominal, classe de tensão, tensões nominais, perdas e impedâncias dos enrolamentos.

5) *UNTRD - unidade transformadora de distribuição*: Inclui todas as unidades transformadoras de distribuição, representados geograficamente pela sua localização [9]. E os dados básicos principais seguem a mesma linha da entidade EQTRD.

6) *SSDMT - segmento do sistema de distribuição de média tensão*: Inclui todos segmentos de rede em média tensão, representados geograficamente pelo seu traçado entre dois pontos [9]. Os seus principais dados básicos são: o código, pontos de conexão e comprimento do segmento.

7) *SSDBT - segmento do sistema de distribuição de baixa tensão*: Inclui todos segmentos de rede em baixa tensão, representados geograficamente pelo seu traçado [9]. E seus dados básicos principais seguem a mesma linha da entidade SSDMT.

8) *UCMT - unidade consumidora de média tensão*: Inclui todas as unidades consumidoras em média tensão, representado geograficamente pelo local do ponto de conexão [9]. Seus principais dados básicos são: o código da unidade, ponto de conexão, código da unidade transformador, dados de localização, grupo de tensão, fases de conexão, tipologia da curva de carga e medidas apuradas de 12 meses de demanda e energia ativa.

9) *UCBT - unidade consumidora de baixa tensão*: Inclui todas as unidades consumidoras em baixa tensão [9]. E os principais dados seguem a mesma linha da entidade UCMT.

10) *PIP - ponto de iluminação pública*: Inclui todos os pontos de iluminação pública sem medição individual [9]. Contendo dados como: código identificador, fases de conexão, grupo tarifário, carga instalada, potência do ponto e energia ativa medida no período de 12 meses.

C. Curvas de carga

A curva de carga representa o perfil de consumo de uma unidade, e é expressa através da demanda de potência em um determinado intervalo de tempo. Nos sistemas de distribuição nacionais, as curvas de carga típicas são divididas por cada classe de consumo, sendo estas: residenciais, comerciais, industriais, serviço público, iluminação pública e cargas em média e alta tensão.

D. QGIS

O QGIS é um Sistema de Informação Geográfica (SIG) de código aberto licenciado segundo a Licença Pública Geral GNU,

é um software multiplataforma que permite a visualização, edição e análise de dados georreferenciados [13]. Na Fig. 3, pode ser vista a interface do programa juntamente com informações carregadas da BDGD referente a Celesc.

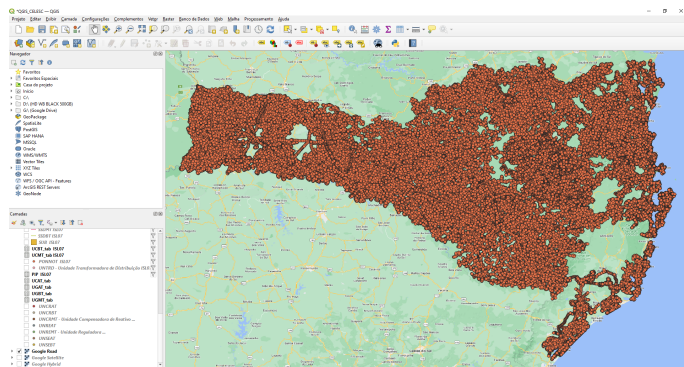


Fig. 3. Informações da Celesc no software QGIS.

E. Software de simulação de redes OpenDSS

O OpenDSS é um software de código aberto desenvolvido no ano de 1997 pela empresa Electrotek Concepts® e comprado no ano de 2007 pelo Electric Power Research Institute (EPRI®). É um programa de simulação no domínio da frequência de uso geral que possui recursos especiais para criar modelos de sistemas de distribuição de energia elétrica e realizar análises relacionadas ao planejamento de distribuição e qualidade de energia. (AJUSTAR CITAÇÃO) O software funciona através de linhas de comandos baseadas em texto e possui uma interface *Component Object Model* (COM) que permite a interoperabilidade com vários outros programas externos, como: MATLAB, Excel, entre outros [7].

A seguir apresentam-se como os elementos de um alimentador são modelados no OpenDSS.

1) Barramento de referência: O ponto de partida da modelagem de um alimentador no OpenDSS é através de uma barra de referência, representado por um equivalente de Thevenin. Este elemento é modelado conforme exemplo a seguir:

New Circuit.JSL07 bus1 = 3017203 basekv = 13.8 pu = 1.00 phases = 3 frequency = 60 mvasc3 = 21000 mvasc1 = 20000

Onde:

- New Circuit: criação da barra de referência;
- bus1: barra que está conectado;
- basekv: tensão de base;
- pu: tensão em pu;
- phases: quantidade de fases do alimentador;
- frequency: frequência do alimentador;
- mvasc3: potência de curto-círcuito trifásica em MVA;
- mvasc1: potência de curto-círcuito monofásica em MVA.

Uma alternativa para o uso das potências de curto-círcuito é a declaração das impedâncias de sequência positiva e zero (R_1 , X_1 , R_0 , X_0). Estes dados são encontrados na entidade “CTMT” da BDGD.

2) Linhas de distribuição: As linhas de distribuição são modeladas através do modelo de linha curta. Estes dados são encontrados nas entidades “SSDMT” e “SSDBT” da BDGD, e sua modelagem no OpenDSS é feita conforme exemplo a seguir:

New line.4056854 phases = 3 bus1 = 2988689 bus2 = 942346 length = 26.8548 units = m linecode = CMT88-3-5

Onde:

- New line: criação de uma linha;
- phases: número de fases deste segmento de linha;
- bus1: barra que o terminal 1 está conectado;
- bus2: barra que o terminal 2 está conectado;
- length: comprimento do segmento de linha;
- units: unidade de medida do comprimento;
- linecode: referência do elemento que contém as características do cabo.

Cada linha de distribuição é referenciada a um elemento que contém as características do cabo. Este elemento no OpenDSS é chamado de “linecode” e os dados são encontrados na entidade “SEGCON” da BDGD, e sua modelagem é feita conforme exemplo a seguir:

New linecode.CMT20-3-3 nphases = 3 basefreq = 60 units = km Normamps = 140 R1 = 1.598 !ohm/km X1 = 0.522 !ohm/km C1 = 0.00

Onde:

- New linecode: criação de um novo elemento que contém as características do cabo;
- nphases: número de fases;
- basefreq: frequência de operação;
- units: unidade de medida de comprimento;
- Normamps: corrente nominal do cabo;
- R_1 : resistência de sequência positiva por unidade de comprimento;
- X_1 : reatância de sequência positiva por unidade de comprimento;
- C_1 : capacidade total de sequência positiva por unidade de comprimento.

3) Transformadores: Os dados dos transformadores são encontrados nas entidades “UNTRD” e “EQTRD” da BDGD e no OpenDSS um transformador é modelado conforme exemplo a seguir:

New transformer.7295705 xhl = 4.38 windings = 2 %loadloss = 1.0202 %noloadloss = 0.2598 wdg = 1 bus = 942358 kv = 13.8 kva = 500 conn = delta %r = 1.02 tap = 0.9565 wdg = 2 bus = BT_942358.1.2.3.0 kv = 0.38 kva = 500 conn = wye %r = 1.02 tap = 1

Onde:

- New transformer: criação do transformador;
- xhl: reatância percentual do primário para o secundário;
- windings: quantidade de enrolamentos;
- %loadloss: perdas em carga (% em relação a potência nominal);
- %noloadloss: perdas a vazio (% em relação a potência nominal);
- wdg: referência do enrolamento, sendo 1: primário, 2: secundário;
- bus: barra a qual o enrolamento está conectado;
- kv: tensão nominal do enrolamento em kV;
- kva: potência nominal do enrolamento em kVA;
- conn: tipo de conexão do enrolamento (delta ou estrela (wye));
- %r: resistência percentual do enrolamento;
- tap: tensão em pu que o tap está ajustado.

4) *Cargas*: Na BDGD as informações das cargas são encontradas nas entidades “UCBT”, “UCMT” e “PIP”, sendo cargas em baixa e média tensão e pontos de iluminação pública. No OpenDSS estas são modeladas conforme exemplo a seguir:

New load.475 phases = 3 model = 8 ZIPV = [0.5 0 0.5 0 0 1 0.9] daily = A4 bus = 942381.1.2.3 kv = 13.2 pf = 0.92 kw = 5.85841 conn = delta

Onde:

- New load: criação da carga;
- phases: número de fases;
- model: modelo utilizado para caracterização da carga;
- ZIPV: expoentes de potência ativa e reativa do modelo ZIP;
- daily: curva de carga associada a carga;
- bus: barra a qual a carga está conectada;
- kv: tensão nominal da carga;
- pf: fator de potência;
- kw: potência ativa nominal;
- conn: tipo de conexão da carga (delta ou estrela (wye)).

Já as curvas de carga no OpenDSS são modeladas conforme:

New loadshape.Residencial npts = 24 interval = 1 mult = (0.875718121, 0.7379304, ..., 1.081178899)

Onde:

- New loadshape: criação da curva;
- npts: número de pontos;

- interval: intervalo de tempo entre cada ponto;
- mult: valores que multiplicam a potência da carga.

III. METODOLOGIA

A proposta deste trabalho é desenvolvida a partir dos passos descritos na Fig. 4. A seguir apresentam-se detalhes de cada etapa.

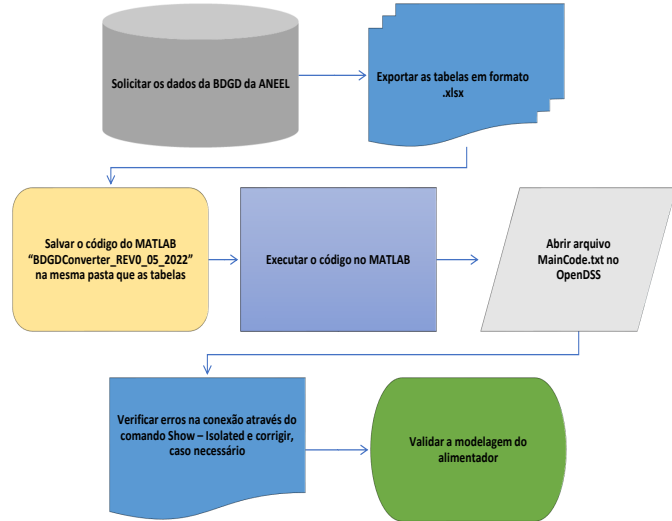


Fig. 4. Etapas da ferramenta computacional desenvolvida.

A. Curvas de carga

As curvas de carga típicas utilizadas neste trabalho foram obtidas por meio da campanha de medições da ANEEL, referentes à 4ª Revisão Tarifária Periódica da Celesc, realizada em 2016 [14]. As curvas representam a média entre todos os tipos de consumidores dentro de uma das classes de consumo e são segmentadas em 3 períodos, dias úteis, sábados e domingos. Para cada curva utilizou-se uma potência de base, obtida pela média dos valores registrados para cada classe. As mesmas podem ser vistas nas Fig. 5, 6 e 7.

B. Solicitação da BDGD através do Fala.BR

A solicitação da base de dados das distribuidoras é feita através da Plataforma Integrada de Ouvidoria e Acesso à Informação (Fala.BR) [15]. Após a conexão no sistema, deve-se cadastrar um pedido para a ANEEL através do menu “Acesso à Informação” e requisitar a Base de Dados Geográfica da Distribuidora (BDGD), informando o motivo por trás da solicitação. Após o acesso ser concedido, um e-mail será enviado informando como os dados devem ser obtidos. Em adição, um tutorial também apresenta como os dados podem ser importados no QGIS.

C. Exportar as tabelas em formato .xlsx

Com os dados da concessionária desejada carregados nas camadas do QGIS, primeiro é recomendado clicar com o botão

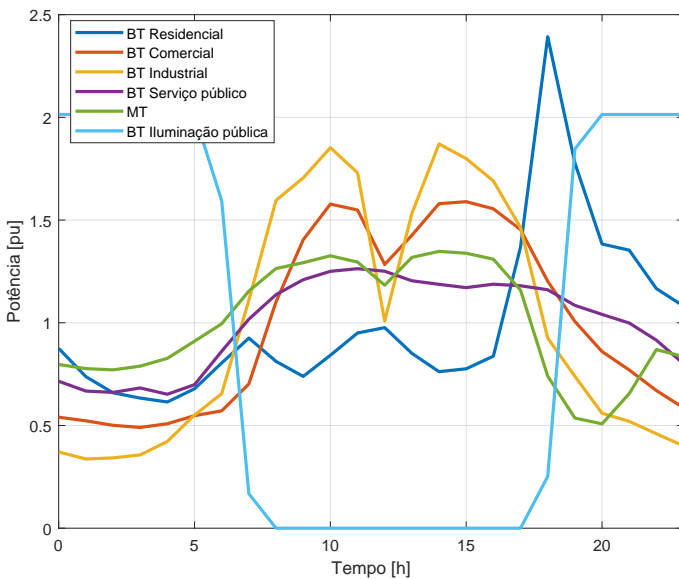


Fig. 5. Curva de carga em dias úteis.

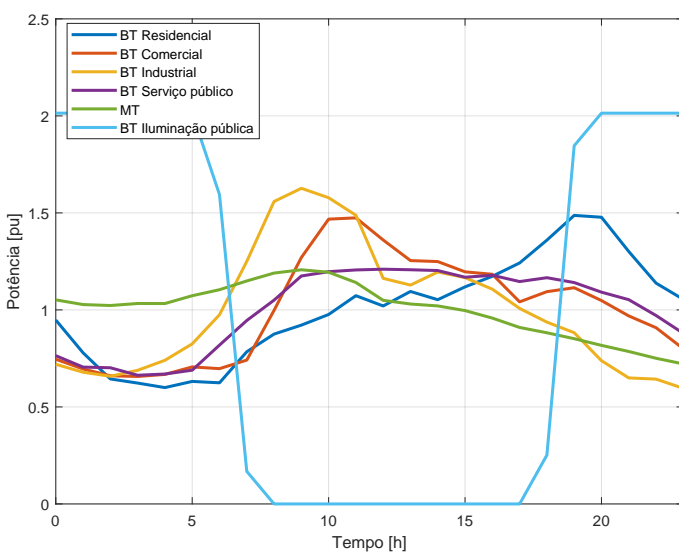


Fig. 6. Curva de carga nos sábados.

direito em cada entidade e filtrá-las conforme a Fig. 8 . Esta etapa não é obrigatória, pois o código irá filtrar todas tabelas com o alimentador desejado, porém, se for escolhido exportar as tabelas sem filtrá-las, o tempo de processamento da ferramenta poderá ser grande.

O “COD.ID” ou o “NOM” da subestação podem ser obtidos clicando com o direito na entidade “SUB” e selecionando “Abrir tabela de atributos”, nesta tabela é encontrada a subestação desejada. De posse do código da subestação verifica-se na tabela de atributos da entidade “CTMT” o “COD.ID” do alimentador desejado, e o mesmo é utilizado para filtrar as demais entidades necessárias para modelar a rede. Com as entidades citadas filtradas, o próximo passo é exportar cada uma delas clicando com o direito e selecionando “Exportar - Guardar elementos

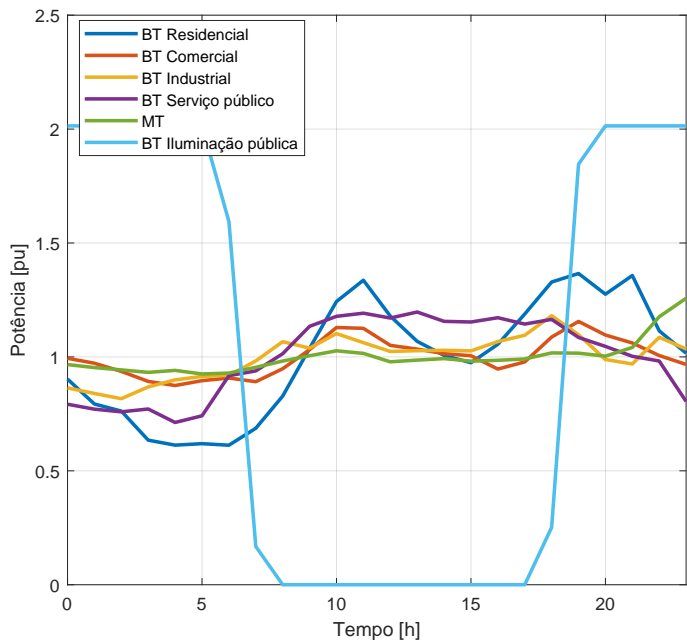


Fig. 7. Curva de carga nos domingos.

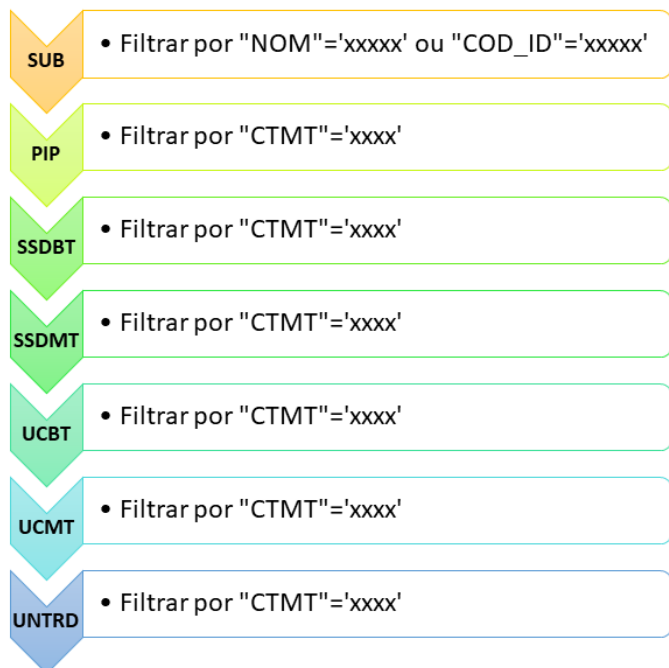


Fig. 8. Filtragem das entidades.

como”. Na janela aberta deve-se escolher o formato “Shapefile” e salvar todas no mesmo diretório. O resultado deverá ser o mesmo conforme a lista a seguir, sendo que os arquivos adicionais criados com extensão diferente de .dbf podem ser excluídos da pasta.

- CTMT.dbf
- EQTRD.dbf

- PIP.dbf
- SEGCON.dbf
- SSDBT.dbf
- SSDMT.dbf
- UCBT.dbf
- UCMT.dbf
- UNTRD.dbf

O último passo necessário desta etapa é de converter os arquivos do formato .dbf para .xlsx. Para isso, abra cada arquivo em um editor de planilhas e salve no formato .xlsx. O resultado final desta etapa, com a adição da ferramenta (arquivo “BDGDCConverter_REV0_05_2022.m”), deverá apresentar os seguintes arquivos na mesma pasta:

- BDGDCConverter_REV0_05_2022.m
- CTMT.xlsx
- EQTRD.xlsx
- PIP.xlsx
- SEGCON.xlsx
- SSDBT.xlsx
- SSDMT.xlsx
- UCBT.xlsx
- UCMT.xlsx
- UNTRD.xlsx

D. Execução do código e validação do alimentador

Após a conversão e adição do código realizado, deve-se executar esse no software MATLAB. Essa execução deve ser realizada onde encontram-se as nove planilhas necessárias para a modelagem do alimentador. Ao executar o código o usuário deverá inserir alguns dados de entrada, sendo esses: o “COD_ID” do alimentador, que pode ser encontrado na entidade “CTMT”, a potência de curto-círcuito trifásica e monofásica em [MVA] e se a análise será feita para dias úteis, sábados ou domingos. O resultado da execução será a criação de dez arquivos de texto .txt, conforme a lista a seguir. O código do alimentador é inserido no final de cada nome do arquivo, para organização.

- LineCode_SSDBT_JSL07.txt
- LineCode_SSDMT_JSL07.txt
- Lines_SSDBT_JSL07.txt
- Lines_SSDMT_JSL07.txt
- Loads_UCBT_JSL07.txt
- Loads_UCMT_JSL07.txt
- LoadShapes.txt
- MainCode.txt
- PIP_JSL07.txt
- Transformers_JSL07.txt

No OpenDSS deve-se abrir o arquivo denominado “MainCode” e executá-lo, conforme a Fig. 9. Nele constam todos parâmetros iniciais necessários para rodar as simulações

desejadas. Uma etapa de verificação de erros de conexão é necessária, pois podem existir inconsistências no banco de dados, visto que, devido a grande quantidade de informações e ramificações de uma rede de distribuição o preenchimento manual por parte da concessionária normalmente resulta em alguns erros de digitação. Para a verificação deve-se selecionar o comando “Show - Isolated”, caso haja alguma inconsistência no relatório basta corrigir excluindo o trecho incorreto dos arquivos de texto.

clear

```
New Circuit.JSL07 bus1 = 3017203 basekv = 13.8 pu = 1.00 phases = 3 frequency = 60 mvasc3 = 21000 mvasc1 = 20000
```

```
Redirect LineCode_SSDBT_JSL07.txt
Redirect LineCode_SSDMT_JSL07.txt
Redirect Lines_SSDBT_JSL07.txt
Redirect Lines_SSDMT_JSL07.txt
Redirect LoadShapes.txt
Redirect Loads_UCBT_JSL07.txt
Redirect Loads_UCMT_JSL07.txt
Redirect Transformers_JSL07.txt
Redirect PIP_JSL07.txt
```

```
Set VoltageBases =[13.8, 0.38]
CalcVoltageBases
```

```
New energymeter.medidor element = line.4947729 terminal = 1
```

```
set tolerance = 0.0000001
set Maxiter=500
set mode = daily
set stepsize = 1h
set number = 24
solve
```

Fig. 9. MainCode no OpenDSS.

Após a correção de eventuais erros, o último passo necessário é a validação do consumo anual do alimentador, utilizando a Eq. (5).

$$\left| 100 \cdot \left(\frac{C_{sim,ano}}{C_{BDGD,ano}} - 1 \right) \right| \leq 10\% \quad (5)$$

Onde:

$C_{sim,ano}$ = Consumo anual simulado [kWh]

$C_{BDGD,ano}$ = Consumo anual real [kWh]

Através do comando “Show - Energy Meters”, é obtido o valor de $C_{sim,dia}$, encontrado no relatório gerado como “Reg 1” em [kWh], basta multiplicá-lo por 365 dias e a variável $C_{sim,ano}$ é obtida. Já a variável $C_{BDGD,ano}$ é encontrada na entidade “CTMT” da BDGD, basta encontrar a linha referente o alimentador simulado e somar os valores das células contidas entre as colunas “ENE_01” até “ENE_12”. Para este trabalho, adotou-se que diferenças de até 10% são consideradas aceitáveis para a validação da modelagem [16].

IV. DESENVOLVIMENTO DA FERRAMENTA

A ferramenta foi disponibilizada de forma eletrônica em: “<https://abre.ai/ferramentabdgd2opendss>” para ser utilizada, analisada e aprimorada por demais pesquisadores e profissionais do setor. O código também pode ser visto no Apêndice deste

documento.

O desenvolvimento da ferramenta ocorreu a partir dos passos informados na sequência. Primeiramente, o código parte da leitura das planilhas exportadas e criação da tabela “TTEN - Tipo de Tensão”, encontrada no DDA (Dicionários de Dados) ANEEL no Módulo 10 do PRODIST, conforme trecho entre as linhas 1 a 20 do código exposto no Apêndice.

Já entre as linhas 23 a 38, são solicitados ao usuário alguns dados de entrada necessários para simulação, como: código do alimentador, potência de curto-círcuito monofásica e trifásica, e se a análise será feita para os dias úteis, sábados ou domingos.

Entre as linhas 40 a 55, são filtradas algumas tabelas com o alimentador inserido e é feito a coleta de informações necessárias para a modelagem do barramento principal.

Já entre as linhas 57 a 82, é feito a coleta de informações necessárias para a modelagem das características elétricas dos condutores de baixa e média tensão, para a modelagem das linhas de distribuição e também os transformadores de distribuição.

Entre as linhas 85 a 144, são coletados dados para modelagem das cargas tanto em baixa quanto em média tensão do sistema e também escrita do arquivo de texto referente as curvas de carga.

Nas linhas 149 até 174 é gerado o arquivo principal nomeado MainCode.txt. E por fim, entre as linhas 176 até 615, são gerados os arquivos de texto referente a modelagem das linhas de distribuição e suas características elétricas, dos transformadores de distribuição e também das cargas.

V. RESULTADOS

Inicialmente, a ferramenta foi testada através da simulação de dois alimentadores pertencentes a concessionária Celesc do estado de Santa Catarina. O primeiro sendo o JSL07, sendo escolhido devido a dois motivos, primeiro por ser um alimentador de pequeno porte, ou seja, com relativamente poucas unidades consumidoras e segundo pois foi utilizado em um artigo acadêmico feito no próprio Câmpus Jaraguá do Sul – Rau [16]. Já a escolha do segundo alimentador, o ISL07, foi feita devido a ele ser de um porte maior que o anterior, possuindo aproximadamente 7 vezes mais unidades consumidoras.

A. Subestação JSL - Alimentador JSL07

Na Fig. 10 encontra-se o traçado do alimentador JSL07 proveniente da subestação JSL, da cidade de Jaraguá do Sul - Santa Catarina, as características deste alimentador podem ser vistas na Tabela I.

O consumo anual de energia real registrado deste alimentador foi de aproximadamente $C_{BDGD,JSL07,ano} = 11,282 \text{ GWh}$.

Já o consumo obtido através da simulação deste alimentador no OpenDSS utilizando a ferramenta desenvolvida está disposto na Eq. (6).

$$\begin{aligned} C_{sim,JSL07,ano} &= C_{sim,dia} \cdot 365 \\ C_{sim,JSL07,ano} &= 31.120 \cdot 365 = 11,359 \text{ GWh} \end{aligned} \quad (6)$$



Fig. 10. Representação do alimentador JSL07.

TABELA I
Características do alimentador JSL07.

Descrição	Qnt.
Segmentos de baixa tensão	171
Segmentos de média tensão	148
Unidades transformadoras de distribuição	24
Unidades consumidoras de média tensão	13
Unidades consumidoras de baixa tensão	604
Pontos de iluminação pública (PIP)	192

De posse desses valores, os mesmos são inseridos na Eq. (5) e então é calculado a diferença percentual entre eles, conforme Eq. (7).

$$\begin{aligned} \left| 100 \cdot \left(\frac{C_{sim,JSL07,ano}}{C_{BDGD,JSL07,ano}} - 1 \right) \right| &\leq 10\% \\ \left| 100 \cdot \left(\frac{11,359}{11,282} - 1 \right) \right| &\leq 10\% \\ 0,68\% &\leq 10\% \end{aligned} \quad (7)$$

Como a diferença percentual entre o consumo simulado e o consumo real registrado foi de 0,68%, ou seja, menor que 10%, o sistema gerado através da ferramenta desenvolvida apresenta uma elevada proximidade com o sistema real.

Um resultado importante a ser mencionado é referente ao tempo de execução da ferramenta, os resultados foram coletados em um PC com 32,0 Gb de RAM instalada e um processador com 3,70 GHz, utilizando a versão 2021a do MATLAB. O tempo de execução da ferramenta para o alimentador JSL07 foi de aproximadamente 30,0 segundos.

B. Subestação ISL - Alimentador ISL07

Na Fig. 11 encontra-se o traçado do alimentador ISL07 proveniente da subestação Ilha Sul - ISL, da cidade de Florianópolis - Santa Catarina, as características deste alimentador podem ser vistas na Tabela II. Em comparação com

o alimentador anterior, este apresenta uma rede de dimensão muito maior, servindo como um bom exemplo de teste para o código.

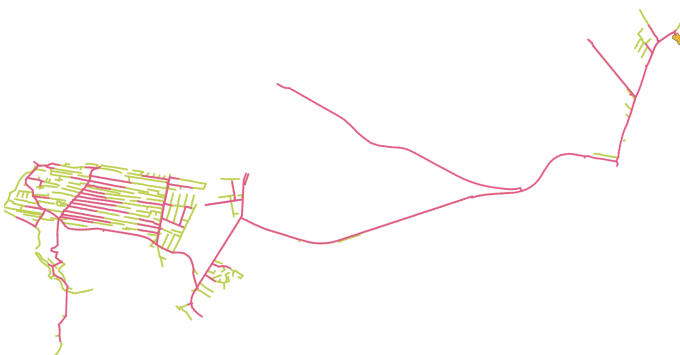


Fig. 11. Representação do alimentador ISL07.

TABELA II
Características do alimentador ISL07.

Descrição	Qnt.
Segmentos de baixa tensão	1431
Segmentos de média tensão	761
Unidades transformadoras de distribuição	86
Unidades consumidoras de média tensão	6
Unidades consumidoras de baixa tensão	4240
Pontos de iluminação pública (PIP)	1300

O consumo anual de energia real registrado deste alimentador foi de aproximadamente $C_{BDGD,ISL07,ano} = 23,112 \text{ GWh}$.

Já o consumo obtido através da simulação deste alimentador no OpenDSS utilizando a ferramenta desenvolvida está disposto na Eq. (8).

$$\begin{aligned} C_{sim,ISL07,ano} &= C_{sim,dia} \cdot 365 \\ C_{sim,ISL07,ano} &= 57.750 \cdot 365 = 21,079 \text{ GWh} \end{aligned} \quad (8)$$

De posse desses valores, os mesmos são inseridos na Eq. (5) e então é calculado a diferença percentual entre eles, conforme Eq. (9).

$$\begin{aligned} \left| 100 \cdot \left(\frac{C_{sim,ISL07,ano}}{C_{BDGD,ISL07,ano}} - 1 \right) \right| &\leq 10\% \\ \left| 100 \cdot \left(\frac{21,079}{23,112} - 1 \right) \right| &\leq 10\% \\ 8,80\% &\leq 10\% \end{aligned} \quad (9)$$

Como a diferença percentual entre o consumo simulado e o consumo real registrado foi de 8,80%, ou seja, menor que 10%, o sistema gerado através da ferramenta desenvolvida apresenta uma boa proximidade com o sistema real. Em comparação

com o resultado obtido do alimentador anterior (JSL07), houve um aumento significativo na diferença percentual do consumo, isto se deve ao fato de que o alimentador em questão (ISL07), apresentou inconsistências em alguns segmentos de rede, em um transformador de distribuição e nas cargas (tais inconsistências encontradas através do comando “Show - Isolated”), então foi necessário excluir estes itens dos seus respectivos arquivos de texto, ou seja, eles são desconsiderados na simulação, perdendo um pouco de precisão no modelo gerado. Estes erros vêm dos próprios dados disponibilizados pelas distribuidoras para a ANEEL. Caso o usuário se depare com algumas inconsistências no alimentador modelado e deseje não omitir informações para uma maior precisão, recomenda-se corrigir os segmentos com falha, porém este processo pode ser bem trabalhoso em alguns casos. O tempo de execução da ferramenta para o alimentador ISL07 foi de aproximadamente 36,0 segundos.

Após a validação com os alimentadores da Celesc, foram realizados três testes: alimentador IPR0104 da concessionária Enel-SP, alimentador 328881756 da Light-RJ e alimentador 823620084 da COPEL-PR. Ao realizar os testes, verificou-se que os mesmos apresentaram instabilidades. Isto se deve ao fato de que por mais que a BDGD seja uma base de dados padronizada, ainda existe algumas particularidades de cada concessionária. Ou seja, a ferramenta precisa ser analisada para alguns alimentadores de cada distribuidora de energia elétrica nacional.

VI. CONCLUSÃO

Este trabalho apresentou uma ferramenta computacional para converter os dados de alimentadores de distribuição reais disponibilizados pela ANEEL na sintaxe do OpenDSS. A ferramenta possibilita a conversão rápida e automática dos dados contidos na BDGD para a sintaxe do simulador OpenDSS, evitando erros por parte do usuário e propiciando um elevado ganho de tempo em modelagens de alimentadores reais.

A ferramenta apresentou resultados consistentes na concessionária Celesc, através do estudo de caso de 2 alimentadores, apresentando uma paridade com o sistema real de 0,68% para o primeiro alimentador e 8,80% para o segundo, demonstrando ser eficaz para converter o sistema na sintaxe do OpenDSS. A ferramenta apresentou inconsistências em testes em outras concessionárias.

Para trabalhos futuros recomenda-se: a validação da ferramenta nas outras distribuidoras nacionais, a modelagem de outros equipamentos presentes nas redes de distribuição de energia elétrica, a criação de uma interface GUI “Graphical User Interface” (Interface Gráfica do Usuário, em português) para uma melhor experiência com o usuário, e redigir o código em uma linguagem de programação de código aberto como Python ou GNUOctave, para proporcionar o uso da ferramenta para qualquer usuário sem nenhum custo.

REFERÊNCIAS

- [1] R. Bayindir, I. Colak, G. Fulli, K. Demirtas, “Smart grid technologies and applications”, *Renewable and Sustainable Energy Reviews*, vol. 66, pp. 499–516, 2016, doi:<https://doi.org/10.1016/j.rser.2016.08.002>, URL: <https://www.sciencedirect.com/science/article/pii/S1364032116304191>.
- [2] A. A. Shobole, M. Wadi, “Multiagent systems application for the smart grid protection”, *Renewable and Sustainable Energy Reviews*, vol. 149, p. 111352, 2021.
- [3] F. Toledo, *Desvendando as Redes Elétricas Inteligentes-Smart Grid Handbook*, Brasport, 2012.
- [4] S. Monger, R. Vega, H. Krishnaswami, *et al.*, “Simulation of smart functionalities of photovoltaic inverters by interfacing OpenDSS and Matlab”, in *2015 IEEE 16th Workshop on Control and Modeling for Power Electronics (COMPEL)*, pp. 1–6, IEEE, 2015.
- [5] A. Hariri, A. Newaz, M. O. Faruque, “Open-source python-OpenDSS interface for hybrid simulation of PV impact studies”, *IET Generation, Transmission & Distribution*, vol. 11, no. 12, pp. 3125–3133, 2017.
- [6] P. Quesada, A. Arguello, J. Quirós-Tortós, G. Valverde, “Distribution network model builder for OpenDSS in open source GIS software”, in *2016 IEEE PES Transmission & Distribution Conference and Exposition-Latin America (PES T&D-LA)*, pp. 1–6, IEEE, 2016.
- [7] EPRI, “OpenDSS Manual”, URL: <https://sourceforge.net/p/electricdss/code/HEAD/tree/trunk/Distrib/Doc/OpenDSSManual.pdf>.
- [8] ANEEL, “Nota Técnica nº 0057/2014 - SRD/ANEEL”, URL: http://www2.aneel.gov.br/aplicacoes/audiencia/arquivo/2014/026/documento/nota_tecnica_0057_srd.pdf.
- [9] PRODIST, “Módulo 10 – Sistema de Informação Geográfica Regulatório”, *Agência Nacional de Energia Elétrica – ANEEL*, 2021.
- [10] H. Saadat, *Power system analysis*, McGraw-hill, 1999.
- [11] S. J. Chapman, *Fundamentos de máquinas elétricas*, AMGH editora, 2013.
- [12] I. F. Visconti, “Modelos de cargas baseados em medições para simulações dinâmicas em sistemas elétricos de potência”, *Pontifícia Universidade Católica do Rio de Janeiro, Rio de Janeiro-RJ*, 2010.
- [13] OSGeo, “QGIS”, URL: https://qgis.org/pt_BR/site/about/index.html.
- [14] ANEEL, “Calendário e Resultado dos Processos Tarifários de Distribuição”, URL: <https://antigo.aneel.gov.br/resultado-dos-processos-tarifarios-de-distribuicao>.
- [15] Fala.BR, “Acesso a Informação”, URL: <https://fala.br.cgu.gov.br/publico/Manifestacao/SelecionarTipoManifestacao.aspx?ReturnUrl=%2f>.
- [16] M. S. Jansen, *Análise do impacto da geração distribuída fotovoltaica em uma rede elétrica da cidade de Jaraguá do Sul*, Instituto Federal de Santa Catarina, 2022.

APÊNDICE - CÓDIGO DESENVOLVIDO NO MATLAB

```

1 clc
2 clear all
3
4 %Leitura das tabelas
%-----//
5 COD_ID = [0;1;2;3;4;5;...]; %Para dados completos da tabela TTEN verificar no próprio código
6 TEM = [0;110;115;120;121;125;...];
7 DESCR={'Não informado';'110 V';'115 V';'120 V';'121 V';'125 V';'...'};
8 TTEN = table(COD_ID,TEM,DESCR);
9 clear COD_ID TEM DESCR
10
11 CTMT = readtable('CTMT.xlsx');
12 SSDMT = readtable('SSDMT.xlsx');
13 SSDBT = readtable('SSDBT.xlsx');
14 SEGCON = readtable('SEGCON.xlsx');
15 EQTRD = readtable('EQTRD.xlsx');
16 UNTRD = readtable('UNTRD.xlsx');
17 UCBT = readtable('UCBT.xlsx');
18 UCMT = readtable('UCMT.xlsx');
19 PIP = readtable('PIP.xlsx');
20 %-----//
21
22 % //Dados de entrada
%-----//
23 prompt= 'Alimentador (BDGD) COD_ID da camada (CTMT): ';
24 Ali=input(prompt,'s');
25
26 freq=60;
27
28 prompt= 'Potência de curto-circuito trifásica (MVA): ';
29 mvasc3=input(prompt,'s');
30
31 prompt= 'Potência de curto-circuito monofásica (MVA): ';
32 mvasc1=input(prompt,'s');
33
34 prompt= 'Análise-> Dias úteis(UT), Sábados(SAB) ou Domingos(DOM): ';
35 Dia_analise=input(prompt,'s');
36
37 % //Equivalente Thevenin/Circuit
% //-----//
38 SUB = CTMT(strcmp(CTMT.COD_ID, Ali), :);
39 DESCRI = TTEN(TTEN.COD_ID == str2double(SUB{1,7}), 3);
40 DESCRI{1,1} = regexp替(DESCRI{1, 1}, 'V$', '');
41 DESCRI{1,1} = regexp替(DESCRI{1, 1}, 'k$', '');
42 DESCRI{1,1} = regexp替(DESCRI{1, 1}, ' ', '');
43 DESCRI= str2double(DESCRI{1,1});
44
45 SSDBT = SSDBT(strcmp(SSDBT.CTMT, Ali), :);
46 SSDMT = SSDMT(strcmp(SSDMT.CTMT, Ali), :);
47
48 SSDMT_CONTAINS=contains(SSDMT.PN_CON_1,SSDMT.PN_CON_2);
49 SSDMT_BUS = SSDMT(SSDMT_CONTAINS(:,1) == 0,:);
50 bus1 = string(SSDMT_BUS{1,3});
51
52 % //-----//
53 % //LineCodes
% //-----//
54 SSDMT_13 = unique(SSDMT(:,13),'stable');
55 SEGCON_MT=SEGCON(ismember(SEGCON.COD_ID, SSDMT_13.TIP_CND), :);
56 rows_MT=size(SEGCON_MT,1);
57 i=1;
58
59 SSDBT_14 = unique(SSDBT(:,14),'stable');
60 SEGCON_BT=SEGCON(ismember(SEGCON.COD_ID, SSDBT_14.TIP_CND), :);
61
62
63
64
65

```

```

66 rows_BT=size(SEGCON_BT,1);
67 % //-----//
68
69 % //Lines
70 % //-----//
71 rows_SSDMT=size(SSDMT,1);
72 rows_SSDBT=size(SSDBT,1);
73 Code_first_line = string(SSDMT_BUS{1,2});
74 % //-----//
75 % //Trafos
76 % //-----//
77 UNTRD = UNTRD(strcmp(UNTRD.CTMT, Ali), :);
78 rows_UNTRD=size(UNTRD,1);
79 SSDBT_FIL=unique(SSDBT(:,5), 'stable');
80 PN_2_UNTRD=table;
81 base_kv_ten_lin=UNTRD{1,14};
82 % //-----//
83
84 % //-----//
85 % //Loads/LoadsShapes
86 % //-----//
87 UCBT = UCBT(strcmp(UCBT.CTMT, Ali), :);
88 UCMT = UCMT(strcmp(UCMT.CTMT, Ali), :);
89 PIP = PIP(strcmp(PIP.CTMT, Ali), :);
90 rows_UCBT=size(UCBT,1);
91 rows_UCMT=size(UCMT,1);
92 rows_PIP=size(PIP,1);
93 kwh=table;
94
95 R_UTEIS = "0.875718121, 0.7379304, 0.659207807, 0.633476025, 0.61442096, 0.678764605, 0.804322151,
0.925609108, 0.812108228, 0.738965351, 0.841846193, 0.950237106, 0.976420214, 0.851260093, 0.761985332,
0.77603361, 0.837538914, 1.369080181, 2.392437728, 1.778169959, 1.383523896, 1.353454872, 1.166310245,
1.081178899";
96 C_UTEIS = "0.540290381, 0.522840237, 0.500970213, 0.490532996, 0.508517788, 0.547920027, 0.571156332,
0.702277961, 1.102078597, 1.403910599, 1.577798928, 1.549089466, 1.283974133, 1.426076057, 1.579967453,
1.589447048, 1.55488613, 1.453487725, 1.202275416, 1.006271074, 0.859995139, 0.770251199, 0.670245313,
0.585739789";
97 IN_UTEIS = "0.371480548, 0.336803009, 0.342382469, 0.356678593, 0.422471297, 0.550753421, 0.654840865,
1.110008527, 1.596005663, 1.705449919, 1.852359559, 1.730589546, 1.008336908, 1.532508343, 1.870899751,
1.799217941, 1.690571957, 1.463406208, 0.925729658 0.739420845, 0.559664929, 0.520173023, 0.45983599,
0.40041103";
98 SP_UTEIS = "0.715469742, 0.667620058, 0.66107404, 0.682765098, 0.652029173, 0.698830552, 0.861324277,
0.01744213, 1.137088058, 1.209694169, 1.250450996, 1.263345256, 1.250983732, 1.204525696, 1.187173553,
1.171167595, 1.187824991, 1.180237526, 1.160738967, 1.084776851, 1.040818453, 0.998823054, 0.915379224,
0.80041681";
99 A4_UTEIS = "0.797062444, 0.776931084, 0.770858997, 0.788911111, 0.826906519, 0.91039443, 0.995234812,
1.154512925, 1.264221535, 1.292436805, 1.326093804, 1.295605964, 1.182864062, 1.318314054, 1.347710884,
1.338456486, 1.309773825, 1.158663378, 0.740455996, 0.53623314, 0.508044577, 0.65548448, 0.869557771,
0.835270918";
100 IP_UTEIS = "2.013976041, 2.013976041, 2.013976041, 2.013976041, 2.013976041, 2.013976041, 1.594394572,
0.167832588, 0, 0, 0, 0, 0, 0, 0, 0.251748882, 1.846143453, 2.013976041, 2.013976041,
2.013976041, 2.013976041";
101
102 R_SAB = "0.9479247 0.778990851 0.644163368 0.622945212 0.599629318 0.631423811 0.624300097 0.784340665
0.875381538 0.921509082 0.976392549 1.073391253 1.020256255 1.095033215 1.052651324 1.11871709
1.173223331 1.241993938 1.359572292 1.487065095 1.47764092 1.301080174 1.138071683 1.054302238";
103 C_SAB = "0.745844961 0.695560012 0.660555887 0.656953401 0.6675735 0.706258203 0.697273586 0.741337801
0.997543038 1.270040175 1.46779961 1.474424886 1.360264397 1.25427073 1.249090243 1.196283151
1.18359598 1.041567259 1.094021382 1.114351578 1.048219812 0.969091752 0.908246631 0.799832026";
104 IN_SAB = "0.719701223 0.678856369 0.65797677 0.688729903 0.740285843 0.824971236 0.974840711 1.249931292
1.558711053 1.626715041 1.578187507 1.487839002 1.16260595 1.127922538 1.195249562 1.166267331
1.106884403 1.007627862 0.937038061 0.882564052 0.738361397 0.649525851 0.643271554 0.59593549";
105 SP_SAB = "0.764124928 0.705296903 0.701858516 0.663284763 0.66956166 0.689300838 0.818684876 0.945400647
1.050293212 1.174812297 1.197044164 1.205997552 1.209776334 1.206965474 1.202857298 1.168455913
1.178516186 1.146120392 1.165970522 1.14098204 1.091501285 1.052795445 0.971168566 0.879230189";
106 A4_SAB = "1.051824318 1.027558766 1.022662475 1.033062567 1.032821183 1.073151932 1.104095753 1.149256352
1.189917618 1.206903066 1.194106858 1.141280143 1.049368708 1.030409138 1.020566211 0.996503977
0.957821268 0.909606485 0.88206375 0.851650023 0.817218272 0.785744757 0.750715532 0.721690847";

```

```

107
108 R_DOM = "0.902446549 0.793209114 0.762242413 0.634578965 0.612704677 0.619183942 0.61238264 0.686929606
109   0.828068989 1.037885774 1.243109979 1.336588186 1.179317195 1.068303868 1.00666421 0.974474563
110   1.055412957 1.188204305 1.328681513 1.366134223 1.275224649 1.357337019 1.114345767 1.016568896";
111 C_DOM = "0.993897432 0.972326705 0.936434735 0.892515887 0.874446892 0.895711227 0.907327765 0.891246254
112   0.94811259 1.031648282 1.129049038 1.125414381 1.050651267 1.034211027 1.014083065 1.005260628
113   0.946590527 0.978046403 1.087096631 1.155707182 1.096008472 1.061153529 1.006011016 0.967049066";
114 IN_DOM = "0.864017127 0.839475836 0.816636209 0.868310784 0.899163682 0.914429973 0.919112742 0.982321722
115   1.066884737 1.03857701 1.102481975 1.062662815 1.02392571 1.027317706 1.028976738 1.026373181
116   1.067446416 1.0949689 1.180691398 1.097615015 0.988605309 0.969014647 1.086182031 1.034808338";
117 SP_DOM = "0.792237795 0.770612686 0.758954136 0.771332012 0.712239535 0.741435859 0.917681788 0.938596341
118   1.014057683 1.134204229 1.178114981 1.191946067 1.170631599 1.197045856 1.156067675 1.153229582
119   1.172034243 1.144135328 1.164647755 1.085417461 1.046097267 1.002677709 0.981975564 0.804626847";
120 A4_DOM = "0.966397294 0.953181849 0.942987579 0.932101485 0.940800001 0.925168058 0.92901207 0.954305205
121   0.981923834 1.00508849 1.026816252 1.015473749 0.978544231 0.985969777 0.99257738 0.981376001
122   0.98515142 0.99085031 1.017522936 1.016404235 1.003221898 1.04150091 1.176262898 1.257362137";
123
124 if Dia_analise == "UT"
125   fid = fopen( 'LoadShapes.txt', 'wt' );
126   fprintf(fid, 'New loadshape.Residencial npts = 24 interval = 1 mult = (%s) \n', R_UTEIS);
127   fprintf(fid, 'New loadshape.Comercial npts = 24 interval = 1 mult = (%s) \n', C_UTEIS);
128   fprintf(fid, 'New loadshape.Industrial npts = 24 interval = 1 mult = (%s) \n', IN_UTEIS);
129   fprintf(fid, 'New loadshape.Serv.Pub npts = 24 interval = 1 mult = (%s) \n', SP_UTEIS);
130   fprintf(fid, 'New loadshape.A4 npts = 24 interval = 1 mult = (%s) \n', A4_UTEIS);
131   fprintf(fid, 'New loadshape.IP npts = 24 interval = 1 mult = (%s) \n', IP_UTEIS);
132   fclose(fid);
133 elseif Dia_analise == "SAB"
134   fid = fopen( 'LoadShapes.txt', 'wt' );
135   fprintf(fid, 'New loadshape.Residencial npts = 24 interval = 1 mult = (%s) \n', R_SAB);
136   fprintf(fid, 'New loadshape.Comercial npts = 24 interval = 1 mult = (%s) \n', C_SAB);
137   fprintf(fid, 'New loadshape.Industrial npts = 24 interval = 1 mult = (%s) \n', IN_SAB);
138   fprintf(fid, 'New loadshape.Serv.Pub npts = 24 interval = 1 mult = (%s) \n', SP_SAB);
139   fprintf(fid, 'New loadshape.A4 npts = 24 interval = 1 mult = (%s) \n', A4_SAB);
140   fprintf(fid, 'New loadshape.IP npts = 24 interval = 1 mult = (%s) \n', IP_SAB);
141   fclose(fid);
142 elseif Dia_analise == "DOM"
143   fid = fopen( 'LoadShapes.txt', 'wt' );
144   fprintf(fid, 'New loadshape.Residencial npts = 24 interval = 1 mult = (%s) \n', R_DOM);
145   fprintf(fid, 'New loadshape.Comercial npts = 24 interval = 1 mult = (%s) \n', C_DOM);
146   fprintf(fid, 'New loadshape.Industrial npts = 24 interval = 1 mult = (%s) \n', IN_DOM);
147   fprintf(fid, 'New loadshape.Serv.Pub npts = 24 interval = 1 mult = (%s) \n', SP_DOM);
148   fprintf(fid, 'New loadshape.A4 npts = 24 interval = 1 mult = (%s) \n', A4_DOM);
149   fprintf(fid, 'New loadshape.IP npts = 24 interval = 1 mult = (%s) \n', IP_DOM);
150   fclose(fid);
151
152 else
153 end
154 % //-----//%
155
156 % //Escrever TXTs
157 % //-----//%
158
159 N1 = sprintf("LineCode_SSDBT_%s",Ali);
160 N2 = sprintf("LineCode_SSDMT_%s",Ali);
161 N3 = sprintf("Lines_SSDMT_%s",Ali);
162 N4 = sprintf("Lines_SSDBT_%s",Ali);
163 N5 = sprintf("LoadShapes");
164 N6 = sprintf("Loads_UCBT_%s",Ali);
165 N7 = sprintf("Loads_UCMT_%s",Ali);
166 N8 = sprintf("Transformers_%s",Ali);
167 N9 = sprintf("PIP_%s",Ali);
168
169 fid = fopen( 'MainCode.txt', 'wt' );
170 fprintf(fid, 'clear\n\n');
171 fprintf(fid, 'New Circuit.%s bus1 = %s basekv = %g pu = 1.00 phases = 3 frequency = %g mvasc3 = %s mvascl = %s\n\n', Ali, bus1, DESCRIPTOR, freq, mvasc3, mvascl);
172 fprintf(fid, 'Redirect %s.txt\n',N1);
173 fprintf(fid, 'Redirect %s.txt\n',N2);

```

```

164 fprintf(fid, 'Redirect %s.txt\n',N3);
165 fprintf(fid, 'Redirect %s.txt\n',N4);
166 fprintf(fid, 'Redirect %s.txt\n',N5);
167 fprintf(fid, 'Redirect %s.txt\n',N6);
168 fprintf(fid, 'Redirect %s.txt\n',N7);
169 fprintf(fid, 'Redirect %s.txt\n',N8);
170 fprintf(fid, 'Redirect %s.txt\n',N9);
171 fprintf(fid, '\nSet VoltageBases = [%g, %g] \nCalcVoltageBases\n', DESCR, base_kv_ten_lin);
172 fprintf(fid, '\nNew energymeter.medidor element = line.%s terminal = 1\n', Code.first_line);
173 fprintf(fid, '\nset tolerance = 0.0000001\nset Maxiter=500\nset mode = daily\nset stepsize = 1h\nset number
   = 24\nsolve');
174 fclose(fid);
175
176 fid = fopen(sprintf('%s.txt', N2) , 'wt');
177 for i = 1:rows_MT %Escrita linecode MT
178     x= string(SEGCON_MT{i,2});
179     c= SEGCON_MT{i,18};
180     y= SEGCON_MT{i,15};
181     z= SEGCON_MT{i,16};
182     fprintf(fid,'New linecode.%s nphases = 3 basefreq = %g units = km Normamps = %g \n~ R1 = %g !ohm/km \n~
       X1 = %g !ohm/km \n~ C1 = 0.00\n\n', x, freq, c, y, z);
183     if i == rows_MT
184         clear x c y z i
185     end
186 end
187 fclose(fid);
188
189 fid = fopen(sprintf('%s.txt', N1) , 'wt');
190 for i = 1:rows_BT %Escrita linecode BT
191     x= string(SEGCON_BT{i,2});
192
193     A = str2double(SEGCON_BT{i,37});
194     B = str2double(SEGCON_BT{i,38});
195     C = str2double(SEGCON_BT{i,39});
196     N = str2double(SEGCON_BT{i,40});
197     l=0;
198     if A ~= 0
199         l=1;
200     end
201     if B ~= 0
202         l=l+1;
203     end
204     if C ~= 0
205         l=l+1;
206     end
207     if N ~= 0
208         l=l+1;
209     end
210     c= SEGCON_BT{i,18};
211     y= SEGCON_BT{i,15};
212     z= SEGCON_BT{i,16};
213     fprintf(fid,'New linecode.%s nphases = %g basefreq = %g units = km Normamps = %g \n~ R1 = %g !ohm/km \n~
       X1 = %g !ohm/km \n~ C1 = 0.00\n\n', x, l, freq, c, y, z);
214     if i == rows_BT
215         clear x c y z i l A B C N
216     end
217 end
218 fclose(fid);
219
220 fid = fopen(sprintf('%s.txt', N3) , 'wt');
221 for i = 1:rows_SSDMT %Escrita Lines MT
222     x= string(SSDMT{i,2});
223     c= string(SSDMT{i,3});
224     y= string(SSDMT{i,4});
225     z= string(SSDMT{i,19});
226     l= string(SSDMT{i,13});
227     fprintf(fid,'New line.%s phases = 3 bus1 = %s bus2 = %s \n~ length = %s units = m \n~ linecode = %s\n\n
       ', x, c, y, z, l);

```

```

228     if i == rows_SSDMT
229         clear x c y z i l
230     end
231 end
232 fclose(fid);
233
234 fid = fopen(sprintf('%s.txt', N8) , 'wt');
235 for i = 1:rows_UNTRD %Escrita TRAFOS
236     x= string(UNTRD{i,2}); % COLETA CODIGO/nome TRAFO
237     PAC_2 = string(UNTRD{i,5});
238     EQTRD_FIL=EQTRD(strcmp(EQTRD.PAC_2,PAC_2),:);
239     xhl=EQTRD_FIL{1,32}; % xhl do trafo da iteração
240     PAC_1=string(EQTRD_FIL{1,4}); %coleta PAC_1 do trafo
241     SSDMT_PN_2=SSDMT(strcmp(SSDMT.PAC_2, PAC_1), :); %filtra SSDMT referente a conexão com o trafo
242     isempty(SSDMT_PN_2);
243
244 if isempty(SSDMT_PN_2) == 1
245     SSDMT_PN_1=SSDMT(strcmp(SSDMT.PAC_1, PAC_1), :);
246     PN_2=string(SSDMT_PN_1{1,3}); %coleta o codigo da barra (saída SSDMT e entrada trafo)
247 else
248     PN_2=string(SSDMT_PN_2{1,4}); %coleta o codigo da barra (saída SSDMT e entrada trafo)
249 end
250
251 kva=UNTRD{i,20};
252 fases=string(UNTRD{i,7});
253 if fases == "A" || fases == "B" || fases == "C" || fases == "AN" || fases == "BN" || fases == "CN" ||
254     fases == "ABN" || fases == "BCN" || fases == "CAN" || fases == "ABCN"
255     conn1 ="wye";
256 elseif fases == "AB" || fases == "BC" || fases == "CA" || fases == "ABC"
257     conn1 ="delta";
258 else
259     continue
260 end
261 res=EQTRD_FIL{1,31};
262 kv=UNTRD{i,14};
263
264 fases=string(UNTRD{i,8});
265 if fases == "A" || fases == "B" || fases == "C" || fases == "AN" || fases == "BN" || fases == "CN" ||
266     fases == "ABN" || fases == "BCN" || fases == "CAN" || fases == "ABCN"
267     conn2 ="wye";
268 elseif fases == "AB" || fases == "BC" || fases == "CA" || fases == "ABC"
269     conn2 ="delta";
270 else
271     continue
272 end
273
274 tap = UNTRD{i,17};
275 noloadloss = UNTRD{i,21}/(kva*10);
276 loadloss = UNTRD{i,22}/(kva*10)-noloadloss;
277
278 if fases == "A"
279     conex = ".1";
280 elseif fases == "B"
281     conex = ".2";
282 elseif fases == "C"
283     conex = ".3";
284 elseif fases == "AN"
285     conex = ".1.0";
286 elseif fases == "BN"
287     conex = ".2.0";
288 elseif fases == "CN"
289     conex = ".3.0";
290 elseif fases == "AB"
291     conex = ".1.2";
292 elseif fases == "BC"
293     conex = ".2.3";
294 elseif fases == "CA"
295     conex = ".3.1";

```

```

294 elseif fases == "ABN"
295     conex = ".1.2.0";
296 elseif fases == "BCN"
297     conex = ".2.3.0";
298 elseif fases == "CAN"
299     conex = ".3.1.0";
300 elseif fases == "ABC"
301     conex = ".1.2.3";
302 elseif fases == "ABCN"
303     conex = ".1.2.3.0";
304 end
305 PN_2_UNTRD(i,:) = {PN_2};
306 fprintf(fid,'New transformer.%s xhl = %g windings = 2 %%loadloss = %g %%noloadloss = %g \n~ wdg = 1
307         bus = %s kv = %g kva = %g conn = %s %%r = %g tap = 0.9565 \n~ wdg = 2 bus = BT.%s%s kv = %g kva = %
308         g conn = %s %%r = %g tap = %g\n\n', x, xhl, loadloss, noloadloss, PN_2, DESCRIPTOR, kva, conn1, res,
309         PN_2, conex, kv, conn2, res, tap);
310 if i == rows_UNTRD
311     clear x c y z i l fases a PAC_1 xhl PAC_2 kv conn2 kva PN_2
312 end
313 fclose(fid);

313 fid = fopen(sprintf('%s.txt', N4) , 'wt');
314 for i = 1:rows_SSDBT %Escrita Lines BT
315     x= string(SSDBT{i,2});

316     fases=string(SSDBT{i,10});
317     if fases == "A" || fases == "B" || fases == "C" || fases == "N"
318         phase = "1";
319     elseif fases == "AN" || fases == "BN" || fases == "CN"
320         phase = "2";
321     elseif fases == "AB" || fases == "BC" || fases == "CA"
322         phase = "2";
323     elseif fases == "ABN" || fases == "BCN" || fases == "CAN" || fases == "ABC"
324         phase = "3";
325     elseif fases == "ABCN"
326         phase = "4";
327     end
328
329     c= string(SSDBT{i,3});
330     y= string(SSDBT{i,4});

331     if fases == "A"
332         conex2 = ".1";
333     elseif fases == "B"
334         conex2 = ".2";
335     elseif fases == "C"
336         conex2 = ".3";
337     elseif fases == "N"
338         conex2 = ".4";
339     elseif fases == "AN"
340         conex2 = ".1.4";
341     elseif fases == "BN"
342         conex2 = ".2.4";
343     elseif fases == "CN"
344         conex2 = ".3.4";
345     elseif fases == "AB"
346         conex2 = ".1.2";
347     elseif fases == "BC"
348         conex2 = ".2.3";
349     elseif fases == "CA"
350         conex2 = ".3.1";
351     elseif fases == "ABN"
352         conex2 = ".1.2.4";
353     elseif fases == "BCN"
354         conex2 = ".2.3.4";
355     elseif fases == "CAN"
356         conex2 = ".3.1.4";
357
358

```

```

359 elseif fases == "ABC"
360     conex2 = ".1.2.3";
361 elseif fases == "ABCN"
362     conex2 = ".1.2.3.4";
363 end
364 PN_2_CONTAIN= find(strcmp(PN_2_UNTRD.Var1,c));
365
366 if PN_2_CONTAIN ~= '0'
367     if fases == "A"
368         conex1 = ".1";
369     elseif fases == "B"
370         conex1 = ".2";
371     elseif fases == "C"
372         conex1 = ".3";
373     elseif fases == "N"
374         conex1 = ".4";
375     elseif fases == "AN"
376         conex1 = ".1.0";
377     elseif fases == "BN"
378         conex1 = ".2.0";
379     elseif fases == "CN"
380         conex1 = ".3.0";
381     elseif fases == "AB"
382         conex1 = ".1.2";
383     elseif fases == "BC"
384         conex1 = ".2.3";
385     elseif fases == "CA"
386         conex1 = ".3.1";
387     elseif fases == "ABN"
388         conex1 = ".1.2.0";
389     elseif fases == "BCN"
390         conex1 = ".2.3.0";
391     elseif fases == "CAN"
392         conex1 = ".3.1.0";
393     elseif fases == "ABC"
394         conex1 = ".1.2.3";
395     elseif fases == "ABCN"
396         conex1 = ".1.2.3.0";
397     end
398 else
399     conex1 = conex2;
400 end
401 z= string(SSDBT{i,20});
402 l= string(SSDBT{i,14});
403 fprintf(fid,'New line.%s phases = %s bus1 = BT.%s%s bus2 = BT_%s%s \n~ length = %s units = m \n~'
404     linecode = %s\n\n', x, phase, c, conex1, y, conex2, z, l);
405 if i == rows_SSDBT
406     clear x c y z i l fases a conex2 conex1 phase PN_2_CONTAIN
407 end
408 fclose(fid);
409
410 fid = fopen(sprintf('%s.txt', N7) , 'wt');
411 for i = 1:rows_UCMT %Escrita loads MT
412     x = string(UCMT{i,1});
413     c = string(UCMT{i,2});
414     kv = TTEN(TTEN.COD_ID == str2double(UCMT{i,18}), 3);
415     kv{1,1} = regexprep(kv{1, 1}, 'V$', '');
416     kv{1,1} = regexprep(kv{1, 1}, 'k$', '');
417     kv{1,1} = regexprep(kv{1, 1}, ' ', '');
418     kv=str2double(kv{1,1});
419     soma = sum(UCMT{i,36:47},2) /(30*12*24);
420     fases = string(UCMT{i,16});
421     if fases == "A" || fases == "B" || fases == "C" || fases == "AN" || fases == "BN" || fases == "CN"
422         conn ="wye";
423     elseif fases == "AB" || fases == "BC" || fases == "CA" || fases == "ABN" || fases == "BCN" || fases ==
424         "CAN" || fases == "ABC" || fases == "ABCN"
425         conn ="delta";

```

```

425     end
426     fprintf(fid,'New load.%s phases = 3 model = 8 ZIPV = [0.5 0 0.5 0 0 1 0.9] daily = A4 bus = %s.1.2.3 kv
427         = %g pf = 0.92 kw = %g conn = %s\n\n', x, c, kv, soma, conn);
428     if i == rows_UCMT
429         clear x c y z i kv column soma fases conn
430     end
431 fclose(fid);
432
433 fid = fopen(sprintf('%s.txt', N6) , 'wt');
434 for i = 1:rows_UCBT %Escrita loads BT
435     x = string(UCBT{i,1});
436
437     fases = string(UCBT{i,17});
438     if fases == "A" || fases == "B" || fases == "C" || fases == "AN" || fases == "BN" || fases == "CN" ||
439         fases == "AB" || fases == "BC" || fases == "CA" || fases == "ABN" || fases == "BCN" || fases == "CAN"
440         phase ="1";
441     elseif fases == "ABC" || fases == "ABCN"
442         phase ="3";
443     end
444
445     c = string(UCBT{i,5});
446     tip_cc = string(UCBT{i,16});
447     if contains(tip_cc,"COM-") == 1
448         daily = "Comercial";
449     elseif contains(tip_cc,"RES-") == 1
450         daily = "Residencial";
451     elseif contains(tip_cc,"IND-") == 1
452         daily = "Industrial";
453     elseif contains(tip_cc,"SP-") == 1
454         daily = "Serv_Pub";
455     elseif contains(tip_cc,"IP-") == 1
456         daily = "IP";
457     end
458
459 PN_2_CONTAIN= find(strcmp(PN_2_UNTRD.Var1,c));
460 if PN_2_CONTAIN ~= '0'
461     if fases == "A"
462         conex2 = ".1";
463     elseif fases == "B"
464         conex2 = ".2";
465     elseif fases == "C"
466         conex2 = ".3";
467     elseif fases == "N"
468         conex2 = ".0";
469     elseif fases == "AN"
470         conex2 = ".1.0";
471     elseif fases == "BN"
472         conex2 = ".2.0";
473     elseif fases == "CN"
474         conex2 = ".3.0";
475     elseif fases == "AB"
476         conex2 = ".1.2";
477     elseif fases == "BC"
478         conex2 = ".2.3";
479     elseif fases == "CA"
480         conex2 = ".3.1";
481     elseif fases == "ABN"
482         conex2 = ".1.2.0";
483     elseif fases == "BCN"
484         conex2 = ".2.3.0";
485     elseif fases == "CAN"
486         conex2 = ".3.1.0";
487     elseif fases == "ABC"
488         conex2 = ".1.2.3";
489     elseif fases == "ABCN"
490         conex2 = ".1.2.3.0";

```

```

490     end
491 else
492     if fases == "A"
493         conex2 = ".1";
494     elseif fases == "B"
495         conex2 = ".2";
496     elseif fases == "C"
497         conex2 = ".3";
498     elseif fases == "N"
499         conex2 = ".4";
500     elseif fases == "AN"
501         conex2 = ".1.4";
502     elseif fases == "BN"
503         conex2 = ".2.4";
504     elseif fases == "CN"
505         conex2 = ".3.4";
506     elseif fases == "AB"
507         conex2 = ".1.2";
508     elseif fases == "BC"
509         conex2 = ".2.3";
510     elseif fases == "CA"
511         conex2 = ".3.1";
512     elseif fases == "ABN"
513         conex2 = ".1.2.4";
514     elseif fases == "BCN"
515         conex2 = ".2.3.4";
516     elseif fases == "CAN"
517         conex2 = ".3.1.4";
518     elseif fases == "ABC"
519         conex2 = ".1.2.3";
520     elseif fases == "ABCN"
521         conex2 = ".1.2.3.4";
522     end
523 end
524
525 kv = TTEN(TTEN.COD_ID == str2double(UCBT{i,19}), 3);
526 kv{1,1} = regexp替換(kv{1, 1}, 'V$', '');
527 kv{1,1} = regexp替換(kv{1, 1}, 'k$', '');
528 kv{1,1} = regexp替換(kv{1, 1}, ' ', '');
529 kv=str2double(kv{1,1});
530 if fases == "A" || fases == "B" || fases == "C" || fases == "AN" || fases == "BN" || fases == "CN"
531     kv=kv/1000;
532 else
533     kv = base_kv_ten_lin;
534 end
535
536 soma = sum(UCBT{i,25:36},2) /(30*12*24);
537
538 if fases == "A" || fases == "B" || fases == "C" || fases == "AN" || fases == "BN" || fases == "CN"
539     conn = "wye";
540 elseif fases == "AB" || fases == "BC" || fases == "CA" || fases == "ABN" || fases == "BCN" || fases ==
541     "CAN" || fases == "ABC" || fases == "ABCN"
542     conn = "delta";
543 end
544 fprintf(fid,'New load.%s phases = %s model = 8 ZIPV = [0.5 0 0.5 0 0 1 0.85] daily = %s bus = BT-%s%
545     kv = %g pf = 0.92 kw = %g conn = %s\n\n', x, phase, daily, c, conex2, kv, soma, conn);
546 if i == rows_UCBT
547     clear x fases phase conex2 soma kv conn tip_cc daily
548 end
549 end
550 fclose(fid);
551 fid = fopen(sprintf('%s.txt', N9), 'wt');
552 for i = 1:rows_PIP %Escrita PIP
553     x = string(PIP{i,2});
554
555     fases = string(PIP{i,12});
556     if fases == "A" || fases == "B" || fases == "C" || fases == "AN" || fases == "BN" || fases == "CN" ||

```

```

fases == "AB" || fases == "BC" || fases == "CA" || fases == "ABN" || fases == "BCN" || fases == "
556 CAN"
557 phase ="1";
558 elseif fases == "ABC" || fases == "ABCN"
559     phase ="3";
560 end
561
562 c = string(PIP{i,10});
563 if fases == "A"
564     conex2 = ".1";
565 elseif fases == "B"
566     conex2 = ".2";
567 elseif fases == "C"
568     conex2 = ".3";
569 elseif fases == "AN"
570     conex2 = ".1.4";
571 elseif fases == "BN"
572     conex2 = ".2.4";
573 elseif fases == "CN"
574     conex2 = ".3.4";
575 elseif fases == "AB"
576     conex2 = ".1.2";
577 elseif fases == "BC"
578     conex2 = ".2.3";
579 elseif fases == "CA"
580     conex2 = ".3.1";
581 elseif fases == "ABN"
582     conex2 = ".1.2.4";
583 elseif fases == "BCN"
584     conex2 = ".2.3.4";
585 elseif fases == "CAN"
586     conex2 = ".3.1.4";
587 elseif fases == "ABC"
588     conex2 = ".1.2.3";
589 elseif fases == "ABCN"
590     conex2 = ".1.2.3.4";
591 end
592 kv = TTEN(TTEN.COD_ID == str2double(PIP{i,14}), 3);
593 kv{1,1} = regexprep(kv{1, 1}, 'V$', '');
594 kv{1,1} = regexprep(kv{1, 1}, 'k$', '');
595 kv{1,1} = regexprep(kv{1, 1}, ' ', '');
596 kv=str2double(kv{1,1});
597
598 if fases == "A" || fases == "B" || fases == "C" || fases == "AN" || fases == "BN" || fases == "CN"
599     kv=kv/1000;
600 else
601     kv = base_kv_ten_lin;
602 end
603 soma = sum(PIP{i,20:31},2) / (30*12*24);
604
605 if fases == "A" || fases == "B" || fases == "C" || fases == "AN" || fases == "BN" || fases == "CN"
606     conn = "wye";
607 elseif fases == "AB" || fases == "BC" || fases == "CA" || fases == "ABN" || fases == "BCN" || fases ==
608     "CAN" || fases == "ABC" || fases == "ABCN"
609     conn = "delta";
610 end
611 fprintf(fid,'New load.%s phases = %s model = 8 ZIPV = [0.5 0 0.5 0 0 1 0.85] daily = IP bus = BT-%s%
612     kv = %g pf = 0.92 kw = %g conn = %s\n\n', x, phase, c, conex2, kv, soma, conn);
613 if i == rows_UCBT
614     clear x fases phase conex2 soma kv conn
615 end
616 end
617 fclose(fid);
618 % //-----//
```

HENRIQUE DA SILVA

FERRAMENTA COMPUTACIONAL PARA CRIAÇÃO DE MODELOS DE ALIMENTADORES REAIS DE DISTRIBUIÇÃO NO OPENDSS A PARTIR DE DADOS DISPONIBILIZADOS PELA ANEEL.

Este trabalho foi julgado adequado para obtenção do título em Bacharel em Engenharia Elétrica, pelo Instituto Federal de Educação, Ciência e Tecnologia de Santa Catarina, e aprovado na sua forma final pela comissão avaliadora abaixo indicada.

Jaraguá do Sul, 06 de julho de 2022.

Prof. Msc. John Jefferson Antunes Saldanha
Orientador
IFSC – Campus Jaraguá do Sul – Rau

Profa. Dra. Ana Paula Carboni de Mello
Universidade Federal do Pampa - UNIPAMPA

Prof. MSc. Vitor Teles Correia
IFSC – Campus Jaraguá do Sul – Rau



Datas e horários baseados no fuso horário (GMT -3:00) em Brasília, Brasil

Sincronizado com o NTP.br e Observatório Nacional (ON)

Certificado de assinatura gerado em 09/07/2022 às 12:40:58 (GMT -3:00)

TermoDeAprovacao_TCC_EngEletrica_IFSC_JGS_RAU_06072022_HENRIQUE DA SILVA

ID única do documento: #12fe5022-3eaa-4013-b834-78456c638f73

Hash do documento original (SHA256): 1e60c1bd94c61ac960810208a5e26ab0cfbe6ea278a4bfaf8e46be1ac5840f96

Este Log é exclusivo ao documento número #12fe5022-3eaa-4013-b834-78456c638f73 e deve ser considerado parte do mesmo, com os efeitos prescritos nos Termos de Uso.

Assinaturas (3)

- John Jefferson Antunes Saldanha (Participante)**
Assinou em 09/07/2022 às 09:42:57 (GMT -3:00)
- Ana Paula Carboni de Mello (Participante)**
Assinou em 11/07/2022 às 15:21:29 (GMT -3:00)
- Vitor Teles Correia (Participante)**
Assinou em 13/07/2022 às 09:03:48 (GMT -3:00)

Histórico completo

Data e hora	Evento
11/07/2022 às 18:21:29 (GMT -3:00)	Ana Paula Carboni de Mello (Autenticação: e-mail anamello@unipampa.edu.br; IP: 200.132.136.248) assinou. Autenticidade deste documento poderá ser verificada em https://verificador.contraktor.com.br . Assinatura com validade jurídica conforme MP 2.200-2/01, Art. 10º, §2º.



Data e hora	Evento
09/07/2022 às 12:42:57 (GMT -3:00)	John Jefferson Antunes Saldanha (Autenticação: e-mail john.saldanha@ifsc.edu.br; IP: 177.66.146.223) assinou. Autenticidade deste documento poderá ser verificada em https://verificador.contraktor.com.br . Assinatura com validade jurídica conforme MP 2.200-2/01, Art. 10o, §2.
09/07/2022 às 12:40:58 (GMT -3:00)	John Jefferson solicitou as assinaturas.
13/07/2022 às 12:03:48 (GMT -3:00)	Vitor Teles Correia (Autenticação: e-mail vitor.correia@ifsc.edu.br; IP: 177.104.9.62) assinou. Autenticidade deste documento poderá ser verificada em https://verificador.contraktor.com.br . Assinatura com validade jurídica conforme MP 2.200-2/01, Art. 10o, §2.